

按极限状态計算 隧道襯砌的方法

苏联国家地下铁道运输勘测设计院编著

人民铁道出版社

PDG

目 录

一、修筑襯砌的主要条件.....	1
二、混凝土偏心受压.....	1
三、结构极限状态計算图形的变化次序.....	4
四、按极限状态計算整体混凝土隧道襯砌及計算方法的发展.....	7
五、单線铁路隧道整体混凝土襯砌的計算.....	8
A. 无鉸襯砌的計算.....	12
B. 单鉸襯砌的計算.....	17
B. 三鉸襯砌的計算.....	20
六、单線铁路隧道整体混凝土襯砌的計算示例.....	27
A. 无鉸襯砌的計算.....	31
B. 单鉸襯砌的計算.....	67
B. 三鉸襯砌的計算.....	82
附录.....	104

一、修筑襯砌的主要条件

单线铁路隧道曲线形整体混凝土衬砌，为的是修筑在密实粘土和泥灰岩、具有很大垂直压力和水平压力的凝结地层中或胶结程度很弱地层中。

衬砌是由拱圈、曲线墙及仰拱组成。

为了防止在上述地层中的建筑物发生很大沉陷，必须设置仰拱。

衬砌横断面的轮廓，要根据建筑接近限界的要求，并依照工程地质条件，以及考虑已有隧道的运营经验来决定。

假使按照全断面开挖法进行衬砌建筑，则采用这种方法，会使地层的天然平衡长期破坏。

因此，应当认为，在对隧道周围地层的作用未进行专门研究以前，仅可近似地考虑地层的弹性抗力。地层的弹性抗力是根据基础局部变形理论来考虑的，同时，此时衬砌边墙后面和仰拱下面的地层压缩数值是不同的。

二、混凝土偏心受压

众所周知，混凝土压缩极限和拉伸极限差别很大。

当以普通速度（1—2小时）对混凝土试件进行压缩、拉伸及弯曲试验时，其变形很小，压缩约为 $\frac{1}{1000}$ ，拉伸约为 $\frac{1}{10000}$ 即告破裂。

混凝土第二个重要特性，是在受压区和受拉区都能产生塑性变形。当荷载快速增加时，混凝土的破裂就像脆性材料一样。而在荷载或其他作用（温度、收缩）缓慢的增加情况下

下，混凝土就能产生很大的塑性变形。例如，当試驗時間延长到18~36小时，其变形比較用1~2小時的時間进行試驗，要大到2~3倍。

中央工业建筑科学研究所对混凝土試件进行的試驗證明，当法向力的偏心距很大时，偏心受压的构件即成为塑性构件，其截面受压区的变形，比試件在简单受压破裂的情况下，要大到很多倍。混凝土的可塑性，在荷載很小时就开始表現出来，如荷載的数值愈大及延續時間愈长，則混凝土的可塑性就愈大。塑性变形与彈性变形的比值，随着应力的增加而增长，其数值可达到4~5以上。

混凝土第三个重要特性，是在常温下的徐变性能，也就是在固定荷載长期作用下的塑性变形，随着这种变形会使結構构件应力不均衡地下降。由試驗可以看出，当加荷載后混凝土的变形立即产生，如使此荷載延續至若干年，則其变形就能增长到三倍以上。

混凝土灌注以后，承受荷載愈早，以及在养生期中，开始的下沉愈逐渐增加，則混凝土的徐变对于基础不均匀下沉而产生的混凝土隧道襯砌內不均衡应力的調整作用就愈大。

由于塑性变形，使整体混凝土隧道襯砌的应力产生显著的重新分布現象。当偏心距之值很大时，混凝土构件偏心受压的工作图形，随着荷載强度的增长而急剧地变化。当荷載較小时，构件的截面，包括受拉区在內，是起着充分的作用；如增加荷載超过极限值时，则在受拉区中应力最不均衡的截面上就要产生裂紋，并使受拉的混凝土不能再抵抗外力，此时，构件的剛性随着荷載的增长而急剧下降。同时，截面的受压部分，产生很大的局部塑性变形，因此，构件的軸線就形成折綫。

在建築設計規程中，关于混凝土结构按极限状态、承載

能力，及按变形計算，均有明确說明，也規定計算有大偏心距的偏心受压构件时，不考虑混凝土受拉区的抵抗，以适应裂缝的张开的指示。

混凝土结构，在有大偏心距的偏心受压情况下，按承载能力的第一种极限状态，其特点是具有充分利用受拉区混凝土抗力的条件。此时，对于垂直于构件轴线的截面，应采用下列计算为前提：

- a) 截面保持为平面；
- b) 法向应力图形，在受拉区内为矩形，在受压区为三角形；
- c) 受拉区内混凝土的应力，等于轴向受拉时混凝土的计算抗力。

当混凝土结构的截面处于有大偏心距的偏心受压时，受拉区的边缘纤维应力达到接近轴向受拉的计算抗力时，混凝土仍不断裂，而在若干时间内变形要继续发展下去，受拉区的变形将一直继续到混凝土拉伸极限值为止，同时受拉区整个高度内的应力达到轴向受拉时的计算抗力值。此时混凝土就要发生破裂。

由此可见，混凝土结构按承载能力的第一种极限状态，是与混凝土达到拉伸极限值的条件有关，同时又是结构在受拉区内形成裂缝的极限状态。

混凝土结构于有大偏心距的偏心受压情况下，按承载能力在第二种极限状态中，如其偏心受压之偏心距很大时，则混凝土结构垂直于构件轴线的截面，应以采用下列的计算为前提：

- a) 受压区内法向应力图示应为矩形，而在受拉区内形成裂缝；
- b) 受压区内混凝土应力等于挠曲时的受压计算抗力；

b) 截面受压区的重心应与法向力的着力点相重合。

因此，在混凝土结构于有大偏心距的偏心受压情况下，按承载能力在第一种极限状态中，塑性变形即发生在受拉区内，而在第二种极限状态中，则发生在受压区内，同时在受拉区内混凝土发生裂缝。

三、結構极限状态計算图形的变化次序

根据整体混凝土砌筑的隧道运营条件，其结构的极限状态，可以划分为下列的两种主要情况：

a) 为了保证混凝土的不透水性和砌筑的完整；必须防止大气因素的破坏，不受腐蚀及水泥碱化等灾害，以免产生裂缝的现象；

b) 根据混凝土受压区的强度条件或结构的稳定条件，必须防止裂缝过分张开的情况。

第一种情况乃是隧道砌筑结构中已有了裂纹，这是不好的，因为在形成裂缝的地方可能使混凝土受到腐蚀，另外在地震区及其他场合修筑隧道，裂缝均能严重影响砌筑的完整性。在这种情况下，混凝土结构在有大偏心距的偏心受压时，按承载能力的第一种极限状态，可作为强度的标准，同时也是混凝土在受拉区内形成裂缝的极限状态。

在砌筑结构不因混凝土腐蚀而有被破坏的危险及容许有不大的裂缝存在时，适合于第二种情况。在这种情况下，混凝土结构在有大偏心距的偏心受压时，按承载能力的第二种极限状态，可作为强度的标准；在这种状态下，最大应力的截面上可以充分利用混凝土在弯曲时混凝土受压计算抗力。

为了了解隧道混凝土砌筑的计算图形，必须详细研究砌筑工作的一切主要因素。

整体混凝土隧道砌筑结构的极限状态是取决于荷载的大

小及其分布的情况，与基础和襯砌的特性，这些因素又随着修筑的襯砌距离开挖面的远近，与混凝土强度增长的情况，而有很大的变化。地层压力的大小是随修筑的襯砌距开挖面的距离而增长的，开始时为最小值，最后达到最大值。必須探求一下，整体混凝土襯砌的計算图形，随着荷載的增加而变化的情况。

在强度不大的垂直和水平均布荷載下，整体襯砌的計算图形符合于在彈性同質基础上的彈性无鉸梁。如在隧道襯砌最不均匀的应力截面內（即所研究的襯砌拱頂截面）增加荷載使混凝土的拉伸达到极限值，混凝土的受拉区内即形成裂縫，同时襯砌的軸線也随之而折断。在襯砌軸線形成折線以后，结构的計算图形就由彈性无鉸梁轉为单鉸梁。在混凝土受压区内形成单向鉸，会引起襯砌內应力明显的重新分布。

随着单向鉸的形成，拱頂截面的法向力的偏心距，就显然減小，并由于混凝土塑性变形的能力，使折断縫受压区的应力被均匀地分布开。

必須指出，在仰拱內很难形成塑性鉸，因为在仰拱上填有混凝土来作线路的剛性基础。

如果在拱頂形成第一个塑性鉸以后，襯砌上的荷載仍然繼續增加时，则可能达到这样一个瞬间，这时在襯砌內出現另外一些裂縫而变为危險的截面。

进行过的一些計算証明，在所研究的这种类型襯砌內，其他的危險截面是出現在拱部支座上，此处产生塑性鉸，該鉸并移至截面的受压边缘（内緣）上。

襯砌計算图形的变化一般次序如下：

- a) 彈性梁——无鉸襯砌；
- 6) 拱頂具有塑性鉸的襯砌——单鉸襯砌；
- b) 拱頂和拱脚上有三个塑性鉸的襯砌——三鉸襯砌。

一般情况，結合各種不同强度的荷載和其分布情況，以及各種不同的基礎特性和襯砌剛度的配合，使許多計算圖形的排列次序有必要加以考慮。必需的計算圖形數量，在計算過程中須按所設計的襯砌具體條件來決定。

進行過的計算證明，如襯砌軸線的形狀是根據垂直和水平荷載間的關係而選定的，則計算圖形的數量，可大大減少。

襯砌的承載能力，實際上是與塑性鉸的承載能力成比例的。而後者又取決於塑性鉸的軸線折角的大小。

軸線折角的大小，乃是隧道襯砌與其基礎共同作用系統變形的結果。

因此按承載能力和按限制裂縫張開的結構極限狀態，其結果都是與變形有關。

按第一種圖形計算襯砌時，要查明土壤抗力的界限，另外根據防止拱頂裂縫張開的條件，可確定出在襯砌上作用的極限荷載的大小。

按第二種圖形計算襯砌時，可以確定出形成兩側塑性鉸的截面位置，並可根據這些截面預防形成裂縫的條件確定荷載大小。

按三鉸圖形計算時，可按最大荷載截面受壓區的強度，計算出在極限荷載作用下的襯砌變形。

計算圖形的選擇及同質地層抗力界限的確定，可用比較計算的方法進行。

在選出正確的計算圖形中，可用靜力計算來查明，除假定的以外，沒有其他的地層抗力界限和其他的軸線折斷縫。

在一般情況下，封閉式整體混凝土襯砌的計算程序，包括無鉸、單鉸和三鉸計算圖形的三種計算。

四、按极限状态計算整体混凝土隧道 衬砌及計算方法的發展

按结构极限状态計算建筑物的方法，若与容許应力法比較起来，能更为真实的来估計材料、結構及其所承受作用的特性，因此它有可能得到比較經濟的决定。为了在隧道工程的建筑中实现这种可能性，應該积累必需的統計資料并加以研究，根据隧道建筑物的特点，提出基本的計算系数值的根据，分析影响这些系数的原因，以及規定出便于选择最有利的計算数値的实用方法。

目前，对于隧道襯砌材料和岩层的特性，在建筑和运营过程中，只能作出綜合的估計。

襯砌材料力学性質的变化，应用匀質系数來計算，該系数值可根据应力状态的种类和混凝土的标号，并按照建築設計規程采用之。

在目前还不可能确定出地层压力規定荷載的數值，因而也不可能确定出超載系数值。隧道襯砌上的規定荷載數值，可用試驗方法直接确定，并用統計整理試驗資料的方法來核算。

在工作条件系数中，尚須考慮在使用直接方法計算中不能直接反映出的結構工作特点，例如：混凝土徐变的影响，侵蝕性介質及其他的影响。

在提出詳尽的隧道結構的靜力計算根据时，应当把两个相互影响的問題联系起来加以解决，即：襯砌結構本身在极限状态中的表現（位移、变形、应力）与周圍岩层应力状态的联系，这种靜力計算的根据，在进行全面的研究、試驗和理論工作以后，是可以实现的。

觀砌构件的相互作用，是随着在鉸近旁产生的局部塑性变形而改变的。混凝土觀砌塑性鉸的承载能力，是随着极限荷载作用下，各鉸处产生的軸線的折角而改变。

因此，整体混凝土砌块的承载能力，是决定于在计算中所考虑结构的总变形以及塑性铰局部变形而改变的，但在目前由于缺少试验资料，对于各塑性铰的局部变形未加考虑。不考虑局部变形，会使裂缝张开的数值和弯曲力矩值增大。

本書中制定了按极限状态計算曲線牆和仰拱的鐵路隧道整体混凝土襯砌的方法，并列举了計算示例。

五、單線鐵路隧道整体混凝土 衬砌的計算

单线铁路隧道封闭式整体混凝土砌筑，是由拱圈曲线墙及仰拱组成。

砌的内外轮廓都是由三心圆曲线构成的。为了便于施工, 应将墙脚加宽, 并将外轮廓 O—O 轴线以下部分画成直线。

在 0—0 軸線以上的襯砌厚度，按下列公式來計算：

$$h_a = h_{\mu\mu} + (h_c - h_{\mu\mu}) \cdot (1 - \cos\alpha) \dots \quad (1)$$

式中： h_a —与垂直线成 α 角砌筑截面的厚度；

h_c 及 h_m ——在 0—0 軸線上及拱頂的襯砌截面厚度。

計算襯砌應按照同質的垂直均布荷載和水平均布荷載進行，而這些荷載均須與襯砌的垂直軸線對稱。當襯砌和基礎共同作用時，地層的彈性抗力並不產生在襯砌的整個週邊，而僅產生在襯砌向地層方面移動的那些部分。

弹性抗力区的界限，主要根据砌筑和岩层性质的关系，以及荷载的分布情况有所不同。

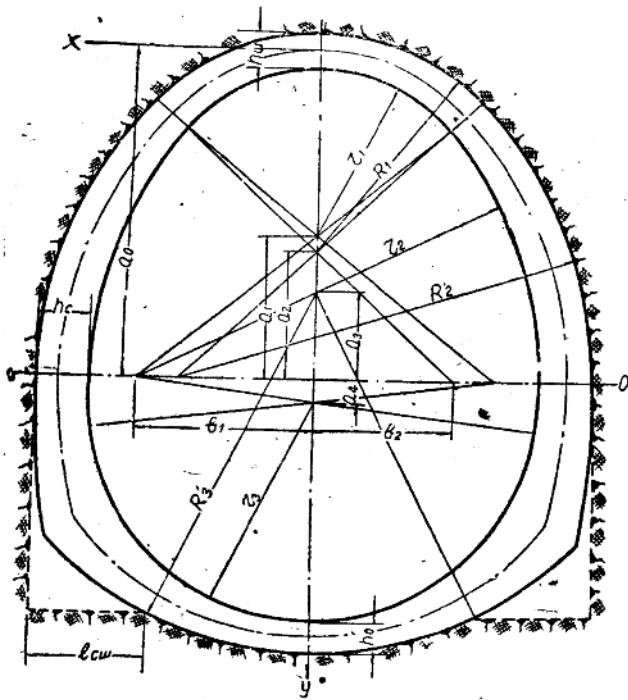


图1 橋砌全圖

在每一个具体情况下，彈性抗力区的界限应用漸近法来确定。

橋砌的計算次序，在第4～6頁總說明內已經敘述。

在一般情況下，必須按無鉸、單鉸和三鉸图形分別進行計算。

橋砌的計算图形是靜不定結構，它支持在連續的彈性局部变形的基础上，基础的特性是以底床系数来表示。橋砌的边墙后面，以及边墙基脚和仰拱的下面分別采用不同的底床系数值。

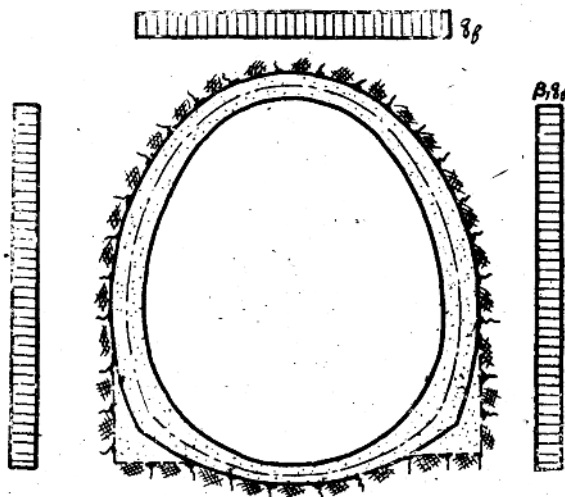


图 2 襯砌的計算图形

为了计算，要选出与襯砌垂直轴綫对称的封闭的鉸鏈形式的基本结构。

鉸鏈是由三鉸拱和在軸綫折断点具有彈性支承杆的鉸接多边形所組成。加在各鉸上的力矩偶均作为冗余未知数。

当产生塑性鉸时，襯砌計算图形的变化能使冗余未知数的数目减少，因为塑性鉸上的力矩是給定的数值。

支承杆的間隔，应根据所要求的計算准确度来选定，但不应超过1~1.5米，因为支承杆布置得太稀少时，就难于查明地层抗力图形变化的特性。

第5个支承杆的条件与其他各支承杆有些不同，因为这个支承杆代表着襯砌在具有不同底床系数的地层上的垂直支承面和水平支承面，所以在这个点上，应安設两个支承杆即垂直支承杆及水平支承杆。

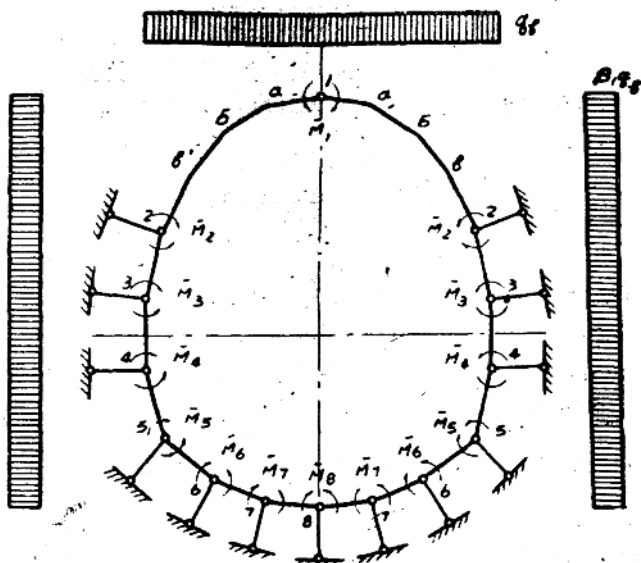


图3 基本結構

但是支承杆这样的布置，会使得 $5-6 \cdots 5'-6'$ 鋸鏈區段成为靜不定結構，会使計算复杂化。为了避免計算复杂，可将第 5 个支承杆选为傾斜的，使其与垂直方向成为傾角 α_5 ，而这个支承杆的剛度，則按下列公式計算：

$$\frac{1}{D_1} = \frac{\cos^2 \alpha_1}{D_2} + \frac{\sin^2 \alpha_1}{D_3} \dots \dots \dots \quad (2)$$

式中：

$$\frac{1}{D} = \frac{1}{k_a l} \dots \dots \dots \quad (3)$$

第5个支承杆的方向，可采用相邻的連杆4—5及5—6之間夾角的分角線的方向。

A. 无鉸襯砌的計算

計算無鉸襯砌其上面作用的荷載，為 $q_s=1$ 及 $q_a=\beta_1 \cdot q_s$

按无鉸图形計算撓砌时的基本結構可見图3。

計算中采用下列符號：

$$\Delta S_{mn} = 2R \sin \frac{\Delta\alpha_{mn}}{2} \quad \text{—— 铰接多边形的边长;}$$

R ——在所研究区段上檢砌軸線的曲線半徑；

$\Delta\alpha_{mn}$ ——对应于构件 mn 的中心角；

α_n ——支承杆 n 与垂直方向所成之倾斜角；

α_{mn} ——构件 mn 之法綫与垂直軸之夹角。

多边形各节点的坐标 (图 3) :

$$d = a_0 - a$$

式中： a 及 b ——圆心坐标。

节点荷载

垂直荷載

$$P_n = \left(\frac{x_n - x_{n-1}}{2} + \frac{x_{n+1} - x_n}{2} \right) q_6 = \\ = \frac{q_6}{2} (x_{n+1} - x_{n-1}) \dots \dots \dots \quad (6)$$

水平荷載

$$H_n = \frac{\beta_1 q_n}{2} (y_{n+1} - y_{n-1}) \dots \dots \dots \quad (6a)$$

决定拱圈和铰链的内力

拱頂橫推力

$$H_{\text{u}}^{\circ} = \frac{M_2}{f} = \frac{q_0}{2y_2} (\dot{x}_s^2 + \beta_1 y_s^2) \dots\dots\dots (7)$$

支座横推力：

$$H_r^{\circ} = H_{\text{u}}^{\circ} - \sum_i H \dots\dots\dots (8)$$

垂直反力：

$$V_0 = \sum_i P_i \dots\dots\dots (9)$$

拱圈各杆件和铰链内，由于外荷载和单位力矩所产生的应力，按顺序地取每一结点为自由体计算之。

$$\begin{aligned} N_{nm} = & \frac{1}{\cos(\alpha_{nm} - \alpha_n)} [N_{kn} \cos(\alpha_n - \alpha_{kn}) + \\ & + P_n \sin \alpha_n + H_n \cos \alpha_n] \dots\dots\dots (10) \end{aligned}$$

$$\begin{aligned} R_n = & N_{kn} \sin(\alpha_n - \alpha_{kn}) + N_{nm} \sin(\alpha_{nm} - \alpha_n) + \\ & + P_n \cos \alpha_n - H_n \sin \alpha_n \dots\dots\dots (11) \end{aligned}$$

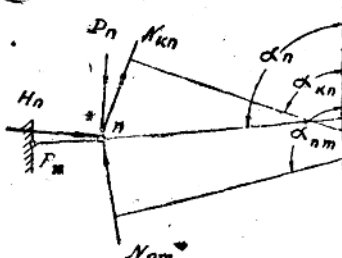


图 4

计算基本结构的应力所用的详尽的公式，均载于计算示例中。

砌砌位移的计算

结构由于杆件挠曲和受压，以及支承杆沉陷而引起的荷载位移及单位位移，可按下列公式综合起来计算：

$$E\delta_{in} = \sum \int \frac{M_i \bar{M}_n}{J} ds + \sum \frac{\bar{N}_i \bar{N}_n}{F} \Delta S + E \sum \frac{\bar{R}_i \bar{R}_n}{D} \dots (12)$$

$$E\Delta_{ip} = \sum \int \frac{\bar{M}_i M_p}{f} ds + \sum \frac{\bar{N}_i N_p}{F} \Delta S + E \sum \frac{\bar{R}_i R_p}{D} \quad \dots \quad (13)$$

彈性方程式的形如：

$$\left. \begin{aligned} \delta_{11}M_1 + \delta_{12}M_2 + \dots + \delta_{1s}M_s + \Delta_{1p} &= 0 \dots \\ \dots & \\ \delta_{rs}M_r + \delta_{rs}M_s + \dots + \delta_{ss}M_s + \Delta_{sp} &= 0 \dots \end{aligned} \right\} \quad (14)$$

解联立方程式以后，求得冗余未知数 M_i 。

靜不定結構中的應力，應按下列公式來計算：

$$\left. \begin{aligned} M &= M_p + M_1 \bar{M}_1 + \dots + M_8 \bar{M}_8 \dots \\ N &= N_p + M_1 \bar{N}_1 + \dots + M_8 \bar{N}_8 \dots \\ R &= R_p + M_1 \bar{R}_1 + \dots + M_8 \bar{R}_8 \dots \end{aligned} \right\} \quad (15)$$

假如計算結果，有一个或数个支承杆的反力是負数，也就是說襯砌在这些点上的位移是向坑道內移动，則必須將这些带有負反力的支承杆取消計算，然后再把結構重新加以計算。

磚砌承載能力的計算

根据隧道襯砌、荷載及基础特性的相互关系，所决定的最危險的截面确定了襯砌承載能力，其位置可能是不同的。这样的截面，可能在襯砌拱頂处、在边牆中或在仰拱內。必須用比較計算来檢查一下，这些截面中那一个是最危險的截面。

当偏心受压的混凝土矩形截面，其偏心距很小时，即 $e < 0.225 h$ 时，则对截面承载力的检算，应按下列公式进行：

$$N_{np} \leq m R_{np} \frac{S_o}{e_N} \dots \dots \dots \quad (16)$$

式中： R_{ap} —軸向受壓時混凝土的計算抗力；

S_c ——整个横断面的面积对较小应力边缘静力矩；

c_N ——由力 N 至截面較小应力邊緣的距離。

当垂直荷载比水平荷载大得很多时，则最危险的截面是拱顶截面，它受着具有大偏心距的偏心受压作用。在这种情况下，无铰砌砌的极限承载能力，是按拱顶形成裂縫的情况来确定。

按拱顶形成的裂缝来决定极限荷载

襯砌拱頂截面，根據“混凝土和鋼筋混凝土結構建築工程設計規範”，如果能滿足下列條件時，是作為一個有大偏心距的偏心受壓截面來考慮的。

$$S_g \leq 0.8 S_{g_0} \quad \dots \dots \dots \quad (17)$$

式中： S_0 ——混凝土截面受压区的面积对截面受拉边缘的静力矩。

S_o ——整个截面的面积对截面受拉边缘的静力矩。

这个条件对于矩形截面，其关系式如下：

$$e_m \geq 0.225 h_m$$

式中: h_m —拱顶截面的厚度;

$$e_m = \frac{M_1}{H_m} \quad \text{——拱頂法向力的偏心距;}$$

$$H_u = H_{u0} + \frac{M_2 - M_1}{f_1} \quad \text{— 靜不定結構的拱頂推力。}$$

f_1 ——拱圈的几何矢高。

在有大偏心距的偏心受压情况下,按形成裂縫的极限荷载是根据混凝土极限受拉的条件来决定。同时混凝土截面受拉区整个高度上的应力等于混凝土軸向受拉时的計算抗力 R_{se} 。